Zusammenstellung ausgewählter Archivunterlagen der GeoSphere Austria

GEOFAST 1:50 000

180 - Winklern

Stand: 2024
Ausgabe: 2024/10

Lage der Darstellung in Österreich mit Blattraster ÖK50 1 : 5 000 000

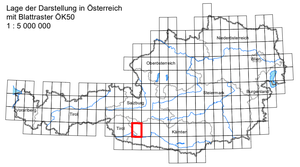

Geologisch-tektonische Übersicht 1: 400 000

Oberpliozäne und Quartäre Ablagerungen

Quartäre Ablagerungen

Holozäne Ablagerungen

- Holozäne Ablagerungen

Alpidisches Orogen

Ostalpin

Oberostalpin

Drauzug-Gurktal-Deckensystem

- Lienzer-Dolomiten-Decke
- Kreuzeck-Gailtaler Alpen-Decke

Koralpe-Wölz-Deckensystem

- Schober-Decke
- Prijakt-Decke

Unterostalpin

Radstadt-Deckensystem

- Stall-Decke

Penninikum

Obere Penninische Decken

Matrei-Nordrahmen-Zone-Deckensystem

- Matrei-Nordrahmen-Zone-Deckensystem

Untere Penninische Decken

Glockner-Deckensystem

- Türchlwand-Schuppe
- Glockner-Decke s. str.

Sub-Penninikum

#Sub-Penninikum

Modereck-Deckensystem

- Modereck-Deckensystem

Venediger-Deckensystem

- Sonnblick-Decke

GeoSphere Austria
Bundesanstalt für Geologie, Geophysik, Klimatologie und Meteorologie

Erhältlich im Verlag der GeoSphere Austria - www.geosphere.at, A-1190 Wien, Hohe Warte 38.

© 2023 GeoSphere Austria. Datensatz publiziert unter www.tethys.at - Nenngebiet Stand 2023 - CC BY 4.0 Bundesamtes für Eich- und Vermessungswesen CC BY 4.0

Projektbearbeitung: E. Hintersberger, Projektleitung: G. E. U. Grissemann, Redaktion: G. E. U. Grissemann, GIS-Datenbank: M. Linner, Layout: I. Bayer

Übersicht der eingearbeiteten Karten

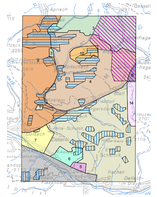

1. Beck, H.; Holzer, H. & Vohryzka, E. (1957): Kreuzeckgruppe: geologische Karte 1:50.000. - 1 Bl, handkol., Wien.
2. Bichler, M. (2024): Kartierungsergebnisse 1:25000 der quartären Ablagerungen und geomorphologischen Formen auf Blatt Winklern BMN 180: 2016-2018. - 2 Bl, handkol., Wien.
3. Exner, Ch. (1962): Geologische Karte der Sonnblickgruppe 1:50.000. - 1 Bl, Farbendruck, Geologische Bundesanstalt, Wien. Mit Benützung von früheren Aufnahmen von F. Angel - R. Staber, H.P. Cornelius - E. Clar u. W. Hammer, sowie der Beobachtungen und Kartenskizzen von M. Stark, L. Kober, A. Winkler-Hermaden, S. Prey, A. Kieslinger u. K. Vohryzka neu aufgenommen von Ch. Exner (1946 - 1959) mit einem Beitrag von S. Prey (Großfragant, Schobertöri, Makernispitze) (1962): Geologische Karte der Sonnblickgruppe 1:50.000. - 1 Bl, Farbendruck, Geologische Bundesanstalt, Wien.
4. Fuchs, G. & Linner, M. (2005): Die geologische Karte der Sadnig-Gruppe: Ostalpines Kristallin in Bezieh
ung zur Matreier Zone. Jahrbuch der Geologischen Bundesanstalt ; 145,3/4. - 293-301, Geologische Bundesanstalt, Wien.
5. Gosen, W.; Dimka, M. & Lotter, M. (1994): Bericht 1991 über geologische Aufnahmen im Altkristallin und in der Trias auf Blatt 180 Winklern. - 9, 6 Kt., Wien.
6. Gosen, W.; Lucks, H.; Schöpf, M. & Zenk, M. (1995): Bericht 1994 über geologische Aufnahmen im Altkristallin und in der Trias auf Blatt 180 Winklern. - 9, 9 Kt., Erlangen.
7. Heinisch, H. (2005): Bericht 2004 über geologische Aufnahmen auf ÖK 180 Winklern in der westlichen Kreuzeckgruppe. - 5, 8 Kt., Wien.
8. Bickovic, T. & Schuster, R. (2014): Bericht 2014 über geologische Aufnahmen auf Blatt 181 Oberveilach. - In: Jahrbuch der Geologischen Bundesanstalt ; 154. - 310-314, Geologische Bundesanstalt, Wien.
9. Linner, M. (2024): Geologische Kartierung auf Blatt UTM 3103 Lienz von 2005 bis 2023. - ungedr., Wien.
10. Lukas, J. (2024): Detailkartierung der nördlichen Sadnig-Gruppe 1:10.000. - 1 Bl, handkol., Wien.
11. Probst, G.; Brandner, R.; Hacker, P.; Heiss, G. & Prager, C. (2003): Hydrogeologische Grundlagenstudie Westliche Gailtaler Alpen/Lienzer Dolomiten (Kärnten/Osttirol) = Hydrogeological Study of the Western Gailtal Alps and Lienz Dolomites (Carinthia/Eastern Tyrol). - In: Beiträge zur Hydrogeologie ; 54. - 5-62., Graz.
12. Reitner, J. (2024a): Geologische Manuskriptkarte 1:10.000 auf ÖK 180 Winklern basierend auf den Kartierungen 2007-2023 [fingierter Titel]. - 24 Bl, handkol., Wien.
13. Reitner, J. (2024b): Karte der Quartärgeologie auf Grundlage von Laserscan-Interpretationen auf ÖK 180 Winklern 1:10.000 [fingierter Titel]. - 14 Bl, handkol., Wien.
14. Schuster, R. & Schmidt, K. (1999): Bericht 1999 über die geologische Aufnahme in der zentralen Kreuzeckgruppe (Blatt 180 Winklern und 181 Oberveilach). - 7, 3 Kt., Wien.

Kompilation:
O. Kreuss, M. Linner
& J. M. Reitner
(GeoSphere Austria, 2024)

Unter Verwendung Laserscan: KAGIS

Hinweis für Nutzer/-innen

GEOFAST-Karten werden überwiegend aus Archivunterlagen der GeoSphere Austria erstellt. Ergänzend können auch publizierte Karten, meist älteren Datums, in die Zusammenstellung einfließen. Eine Überprüfung durch zusätzliche Geländebegehungen erfolgt nicht. Diskontinuitäten zwischen den verwendeten Kartenunterlagen verschiedener Autoren werden bewusst beibehalten und können sich als Sprünge in den Konturlinien äußern. Geologische Inhalte werden in die aktuellen stratigrafischen und tektonischen Modelle überführt. Aufgrund der Übertragung der geologischen Inhalte von Karten mit veralteter Topografie und größeren Maßstäben in die aktuelle topografische Grundlage sind Lageungenauigkeiten vorhanden.

QUARTÄRE SEDIMENTE UND FORMEN

- 1 Anthropogene Ablagerung
- 2 Deponie, Bergwerkshalde
- 3 Toteiskörper
- 820 Gewässer, See
- 5 Bach- und Flussablagerung (Schluff, Sand, Kies)
- 6 Ablagerung in Talsohlen und Talkerben (Wildbachschutt, Murschutt)
- 842 Terrassenkante, Erosionskante
- 7 Schwemmfächer, Murkegel (Sand, Kies, Steine; Würm-Spätglazial - Holozän)
- 9 Vernässung, Anmoor, Niedermoor
- 10 Hochmoor
- 11 Hangablagerung (Schutt)
- 12 Hangablagerung (Blöcke)
- 13 Schuttkegel (Schutt; Pleistozän, Holozän)
- 14 Schuttkegel (Schutt, teilweise Blöcke; Pleistozän, Holozän)
- 15 Blockgletscher (Schutt und Eis)
- 16 Endmoräne vom Stand um 1920
- 17 Wallform vom Stand um 1920
- 18 Endmoräne vom Hochstand um 1850
- 19 Wallform vom Hochstand um 1850
- 47 Stausseablagerungen, Terrassenkörper und Schwemmfächer infolge von Bergstürzen (Kies, Sand mit Schufflagen darin)
- 20 Murschuttablagerung
- 21 Schuttstromablagerung
- 22 Bergsturzablagerung aus Sturzstrom
- 23 Felssturzablagerung (Spätglazial bis Holozän)
- 24 Bergsturzablagerung
- 845 Abrisskante einer Massenbewegung (Spätglazial bis Holozän)
- 25 Abrisskante einer Kriechmasse (Spätglazial bis Holozän)
- 846 Zerrspalte, Zerrgraben (Spätglazial bis Holozän)
- 26 Rutschmasse (überwiegend oberflächennah; Spätglazial bis Holozän)
- 27 Bereich einer Massenbewegung, Massenbewegung
- 28 Umgrenzung einer Massenbewegung
- 29 Bereich einer tiefgreifenden Hangdeformation
- 30 Tiefgreifend aufgelockerter Fels
- 31 Gelí-, Solifluktionsablagerung (Schutt; Pleistozän, Holozän)
- 32 Gleitmasse
- 33 Bereich einer Gleitung
- 34 Bereich einer Gleitung
- 35 Gleitmasse im Verband ?
- 36 Gleitmasse im Verband (Kalkglimmerschiefer)
- 37 Gleitmasse im Verband (Grünschiefer, Prasinit)
- 38 Gleit- bis Fließmasse
- 39 Fließmasse (Schutt; Pleistozän, Holozän)
- 40 Fließmasse (Blöcke; Pleistozän, Holozän)
- 41 Bereich eines langsamen Fließens
- 847 Antithetischer Bruch durch tiefgreifende Kippung (Spätglazial bis Holozän)
- 43 Hangschuld mit umgelagerter Moräne (Spätglazial bis Holozän)
- 44 Blockgletscherablagerung (Schutt; Spätglazial bis Holozän)
- 45 Blockgletscherwall
- 46 Terrassensedimente
- 48 Ehemaliger Abfluss, Trockental (Spätglazial bis Holozän)
- 48 Grund- und Ablationsmoränenablagerung (Diamikt; Pleistozän, Holozän)
- 50 End- und Seitenmoränenablagerung (Diamikt, Eiszerfallsphase)
- 49 End- und Seitenmoränenwall, Eiszerfallsphase
- 51 End- und Seitenmoränenablagerung (Diamikt; Würm-Spätglazial)
- 52 End- und Seitenmoränenablagerung (Spätglazial, Egesen)
- 71 End- und Seitenmoränenwall (Spätglazial, Egesen)
- 53 End- und Seitenmoränenablagerung (Spätglazial, Gschnitz)
- 72 End- und Seitenmoränenwall (Spätglazial, Gschnitz)
- 54 Sedimente der Vorstoßphase (Kies, Sand; Gschnitz; Möllfal nördlich Mörtschach)
- 56 Grund-, Seiten- bzw. Endmoräne (Spätglazial, Eiszerfallsphase)
- 57 Grundmoränenablagerung oder Eisrandablagerung

Holozän

Pleistozän

- 58 Eisrandablagerung (Silt, Sand, Kies; Eiszerfallsphase, Spätglazial)
- 59 Eisrandablagerung (Silt, Sand, Kies; Gschnitz)
- 60 Gletscherschliff
- 61 Drumlin, Subglaziale Wallform
- 68 Wallform des Esker
- 62 Erratischer Block
- 63 Moränenstreu
- 64 Grund-, End- und Seitenmoränenablagerung (Diamikt)
- 66 Grundmoräne (inkl. Bereiche mit oberflächlich umgelagerter Moräne; Hochglazial bis Spätglazial)
- 67 Sedimente der Vorstoßphase und fluviatile Ablagerungen (Kies, Sand, Silt; Frühwürm - Würm-Hochglazial)
- 73 Holzfund darin

Pleistozän

PERIADRIATISCHE MAGMATITE (Oligozän)

- 101 Lamprophyr, Diorit-Porphyrit, Porphyrit
- 102 Tonalit, meist grobkörniger Granat, Amphibol-, Biotit-, Plagioklas oder Quarz-Einsprenglinge, teilweise alterierte oder feinkörnige Matrix

OSTALPIN

OBEROSTALPIN

Drauzug-Gurktal-Deckensystem

Lienzer Dolomiten-Decke

- 100 Lavant-Formation (grünlich-grauer siliziklastischer Kalk, Mergel, Siltstein, Kalksandstein; Barremium - Albium)
- 101 Schrambach-Formation (Mergel, Kalkmergel; Unterkreide)
- 102 Biancone, weißer Aptychenkalk, graue Aptychenschichten (heller dichter Kalkstein; Kimmeridgium - Tithonium)
- 103 Rotkalk (Kalk, Kalkmergel, Crinoiden führend; Pliensbachium - Tithonium)
- 104, 105, 106 Allgäu-Formation (grünlichgrauer Fleckenkalk und Fleckenmergel; Unterjura)
  Brekzie (Dolomitkomponenten)
- "Lavanter Brekzie" (polymikte Karbonatbrekzie, rote Kalkmatrix; Unterjura)
- 107 "Oberrhätkalk" (dickbankiger bis massiger Kalk, Ooidkalk, Korallen führend; oberes Rhaetium)
- 108 Kössen-Formation (mittel- bis dunkelgrauer, wellig schichtiger Kalk, Mergel, Tonstein; Rhätium)
- 109 Hauptdolomit (hellbrauner bis grauer, gebankter Dolomit; Norium)
- 110 Seefeld-Formation (bituminöser Dolomit, Kalk, Mergel; ?oberes Norium)
  Hauptdolomit in Hochstadelfazies (dünnbankige Wechsellagerung von Dolomiten und dunkelgrauer-schwarzen Dolomitmergeln, Mergeln und Tonschiefern; oberes Karnium - ?unteres Norium)
- 112 Nordalpine Raibler Schichten (Dolomit, Kalk, Tonstein, Sandstein; Karnium)
  Plattendolomit-Subformation (Dolomit, Mergel, Brekzie; unteres Karnium)
- 114 Plattendolomit des Rabantberges (unterstes Karnium)
- 115 Jochbach-Subformation (gebankter Kalk, Mergel, Dolomit, z. T. Evaporite; oberes Ladinium - unteres Karnium)
- 116 Wetterstein-Formation
- 117 Zwischendolomit
- 118 Alpspitz-Formation (mittleres bis oberes Anisium)
- 119 Virgloria-Formation (unteres bis mittleres Anisium)
- 120 Alpine Buntsandstein-Formation (Untertrias)

Kreuzeck-Gailtaler Alpen-Decke

- 121 Virgloria-Formation (Dolomit; unteres bis mittleres Anisium)
- 122 Alpine Buntsandstein-Formation (Metasandstein, Metakonglomerat, Metasiltstein; Untertrias)
- 123 Pegmatit
- 124, 125, 126 Phyllit, phyllitischer Glimmerschiefer
  Phyllit mit Geröllen
  Graphitphyllit
- 127 Granatphyllit
- 128 Granatphyllit , Typ Kleines Hochkreuz (Neoproterozoikum - Ordovizium)
- 129 Granat-Glimmerschiefer
- 130 Granat-Glimmerschiefer mit Biotit und Muskovit (Zweiglimmerschiefer Typ Seebach; Neoproterozoikum - Ordovizium)
- 133 Glimmerschiefer, quarzitisch, z. T. Granat führend
- 134 Glimmerschiefer mit Quarzit- und Feldspatlagen
- 135 Biotit-Glimmerschiefer und quarzreicher Paragneis
- 136 Diaphthoritischer Glimmerschiefer und quarzreicher Paragneis
- 137 Biotit-Granat-Glimmerschiefer und quarzreicher Paragneis
- 138 Muskovit-Granat-Glimmerschiefer
- 139 Muskovit-Glimmerschiefer und quarzreicher Paragneis
- 140 Quarzit, Glimmerquarzit
- 141 Paragneis-Glimmerschiefer-Quarzit-Wechselfolge
- 142 Glimmerschiefer und Paragneis, biotitreich, teilweise Sillimanit führend (Neoproterozoikum - Ordovizium)
- 143 Zweiglimmerschiefer teilweise mit Granat, etwas phyllonitisch; Paragneis, biotitbetont, mitunter quarzitisch

Frühpaläozoikum-Komplex

- 144 Orthoaugengneis
- 145 Muskovit-Biotit-Gneis
- 146 Granitgneis
- 147 Orthoaugengneismylonit
- 148 Graphit-Glimmerschiefer, Schwarzschiefer
- 149 Amphibolit
- 150 Granat führend
- 151 Hornblendeschiefer und Amphibolit
- 152 Porphyroidgneis
- 153 saurer bis intermediärer Porphyroidschiefer
- 154 Marmor

Koralpe-Wölz-Deckensystem

Prijakt-Decke

Prijakt-Poshuk-Komplex

- 160 Gangquarz (diskordant)
- 161, 162 Pegmatitgneis, grobblättriger Muskovit, teilweise mit Turmalin und Granat; Metapegmatit (Perm)
  Orthogneis, biotitbetont, grobkörnige Augentextur oder feinkörnig gebändert; Orthogneis, leukokrat mit Granat, Muskovit (Ordovizium)
- 163, 164 Amphibolit , Biotit oder Granat führend, teilweise gebändert
- 165 Eklogit, z.T. gebändert, mattgrüner Symplektit; Amphibolit, gebändert (Neoproterozoikum - Kambrium)
- 166, 167 Zweiglimmerschiefer, oft grobschuppig und Paragneis, metablastisch, mit Granat und Staurolith, mitunter quarzitisch
  Plattig-bankiger Paragneis
- 168 Metablastischer Paragneis
- 169 Kalzit-Marmor
- 170 Kalksilikatgesteinslagen

Schober-Decke

Prijakt-Poshuk-Komplex

- 170 Zweiglimmerschiefer und Paragneis mit Granat, vereinzelt Quarzitlagen, phyllonitisch und retrograd metamorph
- 171 Gangquarz (konkordant, diskordant)
- 172, 173 Pegmatitgneis, grobblättriger Muskovit, Turmalin und Granat (Perm)
  Aplitgneis, feinkörnig, quarzreich und muskovitbetont
- 174 Orthogneis, biotitbetont, grobkörnige Augentextur oder gebändert; Orthogneis, leukokrat mit Muskovit, selten Granat (Ordovizium)
- 175 Amphibolit mit Biotit, selten Granat, Epidot, z. T. gebändert oder plagioklasreich, mitunter Granatamphibol-Garbengneis
- 176 Amphibolit, grob gebändert mit hellen plagioklasreichen Lagen, vereinzelt mit Granat und Amphibolgarben (Neoproterozoikum - Kambrium)
- 177, 178 Zweiglimmerschiefer und Paragneis mit Granat und bereichsweise Staurolith, mitunter quarzitischer Paragneis
  Quarzit, Glimmerquarzit
- 179 Granat-Amphibol-Kalksilikatgestein
- 180 Kalzit-, Dolomit-Marmor und Kalksilikatgesteinslagen

UNTEROSTALPIN

Radstadt-Deckensystem

Stall-Decke

Silbertal-Komplex

- 181 Leukokrater Orthogneis
- 182 Glimmerschiefer, Quarzit
- 183 Pegmatit
- 184 Augengneis

Mölbritzkogel-Komplex

- 185 Migmatischer Paragneis
- 186 Amphibolit
- 187 Glimmerschiefer, Paragneis, Quarzit

PENNINIKUM

OBERE PENNINISCHE DECKEN

Matrei-Nordrahmen-Zone-Deckensystem

- 190 Kalkglimmerschiefer, Kalkphyllit, mit dünnen Quarzitlagen und Kalkmarmorbänken
- 191 Kalkarmer dunkler Phyllit mit Einlagerungen vor Serizitchlorit(phyllit, Serizitquarzit und Quarzphyllit
- 192 Grünschiefer, mitunter massig
- 193 Rosseck-Formation (Rauwacke; Obertrias)
- 194 Dunkler Kalkphyllit, Kalkmarmor
- 195 Dolomit- und Kalkmarmor
- 196 Dolomitmarmor
- 197 Muskovit-Chlorit-Glimmerschiefer, meist quarzreich, untergeordnet Phyllit, schwarzgrau
- 198 Quarzit, blassgrün, feinschuppiger Muskovit, z. T. plattig brechend; unreiner Quarzit mit Glimmerschieferlagen
- 199 Metaarkose - Brekzienschiefer

UNTERE PENNINISCHE DECKEN

Glockner-Deckensystem

Glockner-Decke s. str.

- 225 Brennkogel-Formation (dunkler Phyllit, dunkler Glimmerschiefer, verbreitet Karbonat führend, bereichsweise kalkarm bis kalkfrei; Kreide)
- 200 Kalkglimmerschiefer
- 205 Dunkler Kalkphyllit, Kalkmarmor
- 207 Karbonatglimmerschiefer, hell, muskovitreich, teilweise dolomitisch und Chlorit führend
- 208 Paragneis, Glimmerschiefer, Quarzit
- 203 Grünschiefer, teilweise massig (Prasinit)
- 206 Metagabbro
- 204 Serpentinit und Serpentinitbegleitgesteine (Talk-, Chlorit- und Aktinolithschiefer)
- Dolomitmarmor, weiß

Türchlwand-Schuppe

- 227 Kalkglimmerschiefer
- 228 Grünschiefer, Prasinit
- Serpentinit und Serpentinitbegleitgesteine (Talk-, Chlorit- und Aktinolithschiefer)

SUB-PENNINIKUM

Modereck-Deckensystem

Seidlwinkel-Decke

- 221 Brennkogel-Formation (dunkler Phyllit, dunkler Glimmerschiefer, verbreitet Karbonat führend, bereichsweise kalkarm bis kalkfrei; Kreide)
- 222 Kalkglimmerschiefer, Kalkphyllit
- 223 Grünschiefer, Prasinit
- 226 Glimmerschiefer
- 209 Kalkmarmor
- Dolomitmarmor
- 210 Quarzit
- 211 Wustkogel-Formation (Arkosegneis; Perm)

Trogereck-Schuppe

- 212 Brennkogel-Formation (Karbonatquarzit; z. T. wechsellagernd mit dunklem Phyllit; Kreide)
- 213 Brennkogel-Formation (dunkler Phyllit, dunkler Glimmerschiefer, verbreitet Karbonat führend, bereichsweise kalkarm bis kalkfrei; Kreide)
- 214 Hochtorbrekzie (Brekzie; Kreide)
- Dolomitmarmor
- 217 Permotriadische Phyllite (Serizitphyllit bis Serizitquarzit, Serizitchloritphyllit, eventuell Diaphthorit)
- 218 Trogereck-Gneis (Mikroklinaugengneis; Karbon)

Fleiss-Zone

- 218 Mylonitischer Paragneis, Glimmerschiefer und Orthogneis (Neoproterozoikum - Ordovizium)

Venediger-Deckensystem

Sonnblick-Decke

- 219 Sonnblick-Orthogneis (porphyrischer Biotitgranitgneis, grobkörniger Kalifeldspataugengneis, Pennsylvanium)
- 220 Amphibolit (zusammen mit Hornblendegneis, Biotitplagioklasgneis, Grünschiefer und Floitit; Neoproterozoikum - Ordovizium)

Diverse Zeichen

- Mylonit, Ultramylonit
- Störung (gesichert)
- Störung (vermutet)
- Deckengrenze höherer Ordnung (gesichert)
- Deckengrenze höherer Ordnung (vermutet)
- Deckengrenze (gesichert)
- Deckengrenze (vermutet)
- Schuppengrenze (gesichert)
- Schuppengrenze (vermutet)

Streichen und Fallen der Schieferung und Schichtung

- 0 - 5°
- 6 - 30°
- 31 - 60°
- 61 - 85°
- 86 - 90°

Streichen und Fallen der Faltenachsen oder Lineationen

- 0 - 5°
- 6 - 15°
- 16 - 30°
- 31 - 55°

Sonstige

- Sandgrube, Kiesgrube
- Stollen
- Bergbau aufgelassen

1 : 50 000 (1 cm ≙ 500 m)

0 500 1000 2000 3000 4000 5000 m

Gauß-Krüger-Abbildung, Koordinatensystem M 31 des Bundesmeldenetzes